

三菱重工(株)  
京都大学工学部  
京都大学工学部

正会員 ○磯田厚志  
正会員 後藤尚男  
正会員 杉戸真太

1.はじめに 本報では上水道システム等に用いられる有縫手地中埋設管を対象とし、従来一体構造管路に対して行なわれてきた波動の任意入射角に対する解析と縫手構造管路に対して行なうとともに、その解析結果から管軸方向の地盤ひずみ振幅と埋設管管体応力の関係と波動の管軸方向見かけの波長をパラメータとして議論する。さらに、従来耐震性の検討があまりなされなかつたが、現実の上水道システム配水幹線においてほとんどの異形管(曲管・丁字管)部に施工されるコンクリート補剛(以下補剛部と略す)に着目し、その地震時における応答特性について補剛の施されていない直管部と比較検討する。

2.解析手法とモデル 本研究の地震応答解析手法は弾性床上の梁理論に基づく静的応答解析であり、その数値計算プロセスは伝達マトリックス法によつている<sup>1)</sup>。補剛部は一般にコンクリートの巻き厚15cm~30cmの長方形断面を有し、曲管部の場合屈曲した管路上沿って直方体が折れ曲がつたような形状となる。本解析では補剛部を剛体と仮定した上で、その基礎的な地震時挙動を把握するためのモデルとして直管にコンクリート補剛を施したモデルを考案し、これの解析を行なつた(図1)。ここにコンクリート巻き厚は30cmとし、管軸方向補剛部長は45°曲管長に加えて両端からそれぞれ30cmの余裕を持つ長さを設定している。補剛部に対する地震動入力としてはBarkan<sup>2)</sup>の示した剛体基礎に対する地盤反力の評価法を適用し、地盤と補剛部間の相対変位(並進・回転)を拘束するよう地盤反力を発揮される地盤バネモデルを与えている。本報ではダクタイル鉄管A型、管径800mm(表1、図2参照)について結果を示す。地盤バネ特性は文献3), 4)を基に図3のように設定した。解析で扱つた管路系モデルは直管のみで構成される管路系と、管路系中央に直管補剛部を有する直管管路系の2つである。入力地震動は正弦波で近似できるとし、波長120mの縦波を入力した。変位振幅は0.5, 1.0, 1.5, ..., 8.0cmの16種類、入射角は管軸に対して0°, 5°, 10°, ..., 75°の16種類とし、位相は着目する管応答量に応じて管路系中央部で地盤引張ひずみ、圧縮ひずみがそれぞれ最大となるように与えた。

表1. 管体諸元

寸法	800
外径 (cm)	83.6
壁厚 (cm)	1.2
内径 (cm)	81.2
断面積 (cm <sup>2</sup> )	310.6
断面二次モーメント (cm <sup>4</sup> )	2.64×10 <sup>5</sup>
一本当り長さ (cm)	600
弹性係数 (kg/cm <sup>2</sup> )	1.6×10 <sup>6</sup>

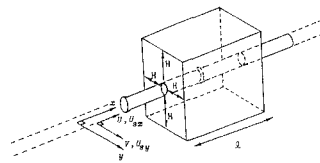
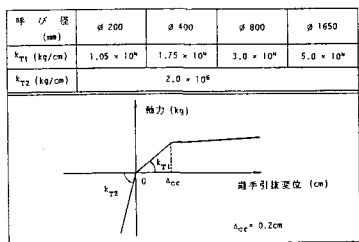
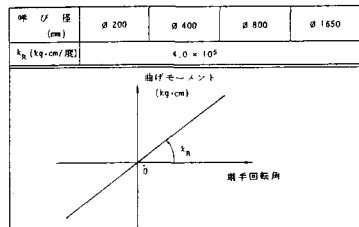


図1 直管補剛部モデル

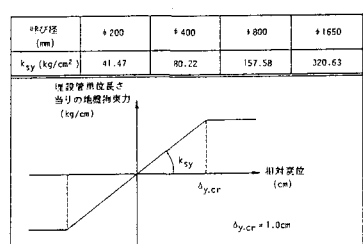


(a) 縫手伸縮特性

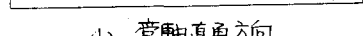


(b) 縫手回転特性

図2 縫手バネ特性



(a) 管軸方向



(b) 管軸直角方向

図3 地盤バネ特性

3. 数値計算結果と考察 直管モデル、直管補剛モデルに対する入射角を変化させた解析結果を図4, 5に示す。なお応答値は境界部の影響が現われない範囲内での管路系における最大値に着目している。

(1) 直管部の応答量(図4(a)~(e)) 舷手変位はどの変位振巾においても入射角 $\theta$ (管軸方向入射)の場合が最大値をとっている。(a)図)。また変位振巾・管軸方向地盤ひずみ振巾に対する増加率はほぼ一定値ととり両者は線形関係にある。(b),(c)図)。さらに(c)図とともに舷手変位と管体1本当たり長さで除し、管軸方向地盤ひずみ振巾との関係を求めると比例定数0.98の直線関係にあることがわかる。直管部における合成応力は大部分が軸応力であり、曲げ応力は無視できる程度である。合成応力の最大値をとる入射角は常に $0^\circ$ とは限らず変位振巾の増大とともに $45^\circ$ ~ $60^\circ$ 付近に移行する傾向がある。これは従来の研究でも明らかにされている管と地盤の間のすべりの影響の現われである。(e)図で任意入射角に対する合成応力の最大値、及び管軸方向入射による合成応力の比較を行なう。変位の増大とともに両者の差は大きくなり、変位振巾8cmにおいて約8%程度異なることがわかる。なお参考として墨田ら<sup>5)</sup>による簡易推定式の軸応力推定値を同時に示した。(d)図は上記解析結果と管軸方向見かけの波長ごとに整理して表現した図である。ここでこの波長の範囲は120m~240mである。同一のひずみ振巾でも波長による合成応力値の差が現われている。

(2) 直管補剛部の応答量(図5(a)~(c)) 舷手変位は常に補剛部に隣接する舷手において最大の応答値を生じ、その側面は直管部の場合とは同様であるが、補剛部及び二つに接続する管路に入力される地盤ひずみ分だけ直管部より大きな値(約1.5倍)を得る(解析省略)。合成応力は補剛部に接続する管体ごと、大きな曲げ応力が発生するため最大となる。(a)図から合成応力と入射角との関係は、直管部におけるそれらの関係図(図4(d))の中央部付近を持ち上げたような分布となし、任意入射角に対する最大合成応力をとる入射角は $0^\circ$ から徐々に $45^\circ$ に移行している。そして(e)図より、任意入射角に対する合成応力の最大値に占める曲げ応力の割合は80%程度にまで達し、ダクトイル管の許容強度4000 kN/cm<sup>2</sup>を変位振巾1cm程度で上回っていることがある。さらに(e)図に示されるように、補剛部においては管軸直角方向地盤ひずみに比例する曲げ応力が生じることがわかる。

#### 参考文献 1) 高橋高橋・山部: 硬質化ビニル

- 管の地震時挙動) レポート, 水道協会編第4号, 第544
- 2) Barkan,D.D., "Dynamics of Bases and Foundations", McGraw-Hill Book Co.(New York)
- 3) 日本ガス協会: ガス導管耐震設計指針, 第5.3
- 4) 日本ガス協会: ガス工作物設置基準調査ヒアリング, 第5.6.3

- 5) Kameda,H. and Shinozuka,M., "Simplified Formula for Axial Strains of Buried Pipes Induced by Propagating Seismic Waves"

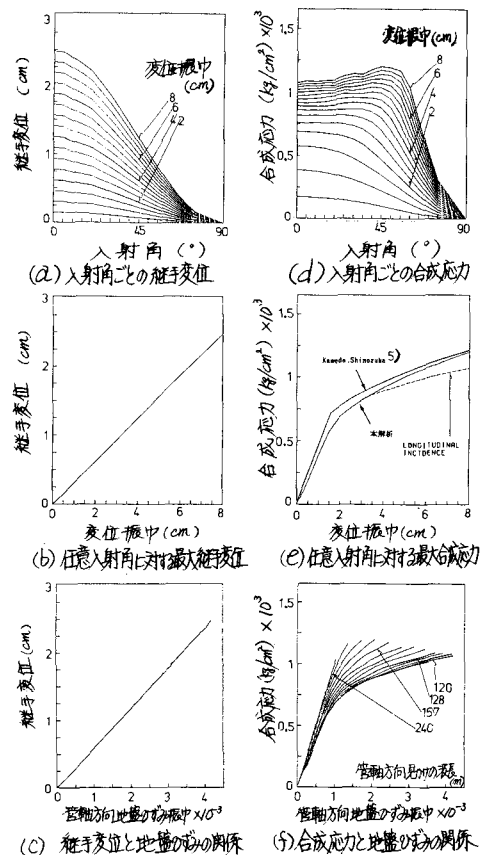


図4 直管部における応答量

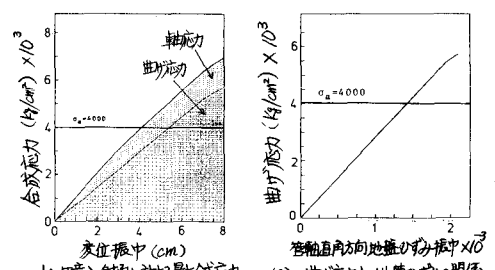


図5 直管補剛部における応答量